

首都高速道路公団 正員 有江義晴
 建設者土木研究所 正員 大久保忠良
 ○複波義幸

1 まえがき

長大吊橋の設計に際しては耐風安定性についての検討が不可欠の条件であるとされてきたが、最近すぐれた構造材料の開発、新しい構造型式の採用等とあいまって橋梁は長大化、軽量化の途をたどり、これに伴なつて吊橋以外にもかなり可接性上富む橋梁がみうけられ、耐風安定性の問題は長大吊橋に限られるものではなくなつて来た。例えば斜張橋は普通の桁橋に較べかなり柔軟な構造になつてあり、桁橋では問題にせなかつた空力予安定現象に対する検討が必要となつて来る。

首都高速道路公団が高速7号線ク23工区に予定してある荒川大橋は斜張橋として計画され、これが、これまで関連して風洞模型実験による耐風性の検討を行なつたのでその概要を報告する。

2 荒川大橋の諸元と模型

荒川大橋は図-1に示すように三径向連続鋼床版斜張橋で橋巾 17.9 m、桁高 2.4 m、ケーブル取付面高は 27.5 m で、また主塔は中央分離帶上で補剛柱ト剛結して方へられた可接性塔であり、下側ケーブル取付高は 12.0 m、上側ケーブル取付高は 24.0 m、斜張索断面積は 0.021 m^2 である。

風洞模型は幾何学的形状が実橋と相似でなければならぬことからできるだけ大きくつくことが望ましが、風洞測定部の大きさ等に制約されるため縮尺を 40 分の 1、長さを 1600 mm とした。実験に供した模型は、原型と走行距離尺と模型-1 と形状の一部を変更した 4 種である。模型-2 は模型-1 の主塔と橋脚の間にリバーブレートを張り单箱析構造としたもの(図-2-1)、模型-3 は模型-1 の高欄を紙で覆つたもの、模型-4 は模型-1 の地覆の高さを半分にしたもの、模型-5 は模型-1 の下側を覆つた逆張形橋脚構造としたもの(図-2-2)である。なお、実験は建設者土木研究所の橋梁試験用風洞で行なつた。

3 実験方法

実験は以上、模型につけて空力三分力の測定とバネ支持模型実験による自動振動の発振風速の測定を行なつた。ここでは主として今回の実験の主目的であるバネ支持模型実験の結果に

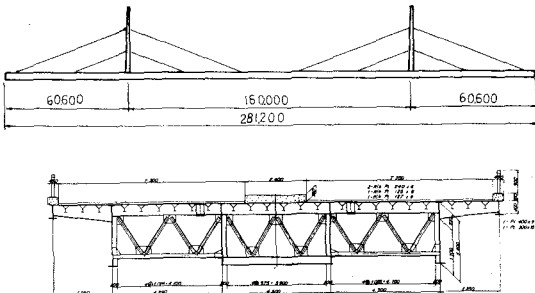


図-1 荒川大橋一般図

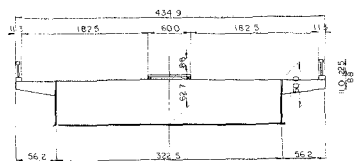


図-2-1 模型-2

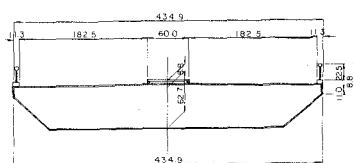


図-2-2 模型-5

につけて述べる。ここで云うバネ支持模型実験とは補助軸の一軸、剛体模型とスプリングで吊し、風作用をうけたときの模型の挙動を観察する実験で部分模型実験の一種である。

この実験で用いた相似則は以下の通りである。すなわち、模型と原型で次の無次元量が等しくなるよう模型諸量を定めた。

i 慣性パラメータ

$$\frac{I_0}{\rho B^3}, \frac{I_2}{\rho B^2}$$

但し B: 代表長

ii 風速パラメータ

$$\frac{V}{N_0 B}, \frac{V}{N_0 B}$$

I_0, I_2 : 吊弦、ケーブルを含む吊構造部、回転半径まわりの慣性モーメント及び質量

iii 構造減衰を表わす定数 δ_1, δ_2

N_0, N_2 : 基本ならびに旋回振動数

V: 風速

δ_1, δ_2 : 基本ならびに旋回振動、構造減衰

ρ : 空気密度

上記の相似則のもとで実験を行

なた今回の風洞実験の実験

条件を表-1に示す。

表中、支持方法に α 及び β とあるのはスプリングで吊した模型。振動の自由度を示すもので α は支持は模型が上下振動と回転振動が可能なよう吊り支持したもの、 β 支持は回転振動が、 γ 支持は上下振動の可能なよう吊り支持したものである。

なお、上記の相似則から構造減衰をつけるには、原型の構造減衰をは、より割りなうこと、および構造減衰は適当に調節して模型に付加するための減衰器をつけるため当初は模型。振動系、構造減衰をできるだけ小さくして各全側の実験を行なったが、その後電磁減衰器を試作したので初期減衰が発振風速に与える影響を調べたための実験を追加した。

4 実験結果

1 各模型の空力特性

電磁減衰器をつけずに行なった実験、一部を図-3-1～3-3に示す。これらは実験風速と模型。減衰の関係を示すも、であるが一般に模型。計数減衰率は振巾によつて異なるのでここでは片振巾 1° のところの計数減衰率を計算した。

まず模型。挙動について概略説明すると、始めた他の風速で発現するものは上下振動であつて、例えば模型-1(吊 α)では、小迎角では模型風速 0.5 m/s で、大迎角では同じく模型風速 1.2 m/s で発振し、その振巾は $1 \sim 3 \text{ mm}$ に達したがこれらは振動は必ずもし候。風速範囲で生ずる倍走振動で風速があ

表1 実験条件

	原型	理論値	模型 No.1 SK-SB-67 40A	模型 No.2 SK-SB-67 40A	模型 No.3 SK-SB-67 40A ₂	模型 No.4 SK-SB-67 40A ₃	模型 No.5 SK-SB-67 40B
重量	10.51 $\text{t/m}^3 \text{ bribye}$	10.510 g/model	10.680 g/model	10.250 g/model	10.250 g/model	10.390 g/model	10.680 g/model
極慣性モーメント	260 $\text{t}\cdot\text{m}^2/\text{m}$	1,660 $\text{g}\cdot\text{cm}^3$ $\text{sec}^2/\text{model}$	1,623 $\text{g}\cdot\text{cm}^3$ $\text{sec}^2/\text{model}$	1,597 $\text{g}\cdot\text{cm}^3$ $\text{sec}^2/\text{model}$	1,531 $\text{g}\cdot\text{cm}^3$ $\text{sec}^2/\text{model}$	1,531 $\text{g}\cdot\text{cm}^3$ $\text{sec}^2/\text{model}$	1,531 $\text{g}\cdot\text{cm}^3$ $\text{sec}^2/\text{model}$
挽み振動数	0.647 c/s		1.43 c/s	1.46 c/s	1.46 c/s	1.45 c/s	1.43 c/s
振れ振動数	1.663 c/s		3.75 c/s	3.78 c/s	3.86 c/s	3.86 c/s	3.86 c/s
振動数比	1:2.57		1:2.62	1:2.58	1:2.64	1:2.65	1:2.69
風速換算比			$(V_p/V_m)_p=17.75$ $(V_p/V_m)_p=18.05$	$(V_p/V_m)_p=17.60$ $(V_p/V_m)_p=17.69$	$(V_p/V_m)_p=17.23$ $(V_p/V_m)_p=17.69$	$(V_p/V_m)_p=17.23$ $(V_p/V_m)_p=17.80$	$(V_p/V_m)_p=17.23$ $(V_p/V_m)_p=18.05$
バネ強度			880 μ	880 μ	880 μ	880 μ	880 μ
バネ間隔			32.0 cm	32.0 cm	32.0 cm	32.0 cm	32.0 cm
支持方法			$h\alpha, \alpha$	$h\alpha, \alpha, h$	$h\alpha$	$h\alpha$	$h\alpha, \alpha, h$
迎角			$0, \pm 3, \pm 6, \pm 9$ $0, \pm 2, \pm 4, \pm 6, \pm 9$ $0, \pm 5(\text{h mount})$	$0, \pm 2, \pm 4, \pm 6, \pm 9$	$0, \pm 2, \pm 4, \pm 6, \pm 9$	$0, \pm 2, \pm 4, \pm 6, \pm 9$	$0, \pm 2, \pm 4, \pm 6, \pm 9$ $0, \pm 5(\text{h mount})$
風速帶での構造減衰							
備考			原設計案				

3種類大きくると振動は大きくなり、また発振時ににおける振幅も増加も認められやすかった。
今回実験でとりあげた模型では回転振動は上下振動よりも高い風速で発振した。この場合にもまず模型風速 2~3m/s で発振したが、振動は大体限界振動である風速と高めるとある。しかし実に風速をあげれば次にあらわされる振動は風速の上昇と共に急速に振幅を増大する発散振動が生ずる。

我々が最も注目すべきはこの発散振動である。

図-3-1 は模型-1 の回転振動における実験風速と模型の減衰率。軸角を示したものであり、図-4 は同じく模型-1 の風速と最終振幅、軸角を示したものである。本州四国連絡橋耐震設計指針によれば自励振動に対する橋は設計風速の 1.2 倍の風速まで安全でなければならぬ。荒川大橋の耐風設計モデルの指針に準拠するものとすれば、荒川大橋は±5° 以下。近角に対する 66 m/s の風速にてまで安全でなければならぬ。模型-1 の実験結果からみて原設計は狭小振動。発散振動の発振風速はこの限界値を越えてからが狭小振動および狭小振動の限界振動の発振風速である。限界値を下すまでは±3°。そしてこの限界振動。発現をおさえる目的で模型-2 ～ 5 に掛ける実験は初期減衰率影響を調べる実験を追加して行なった。模型-2 の模型-5 の空力特性に対する回転振動に対する結果を図-3-2, 3-3 に示す。

図-3 は明らかなるよう模型-2 の空力特性がかなり改善されており。

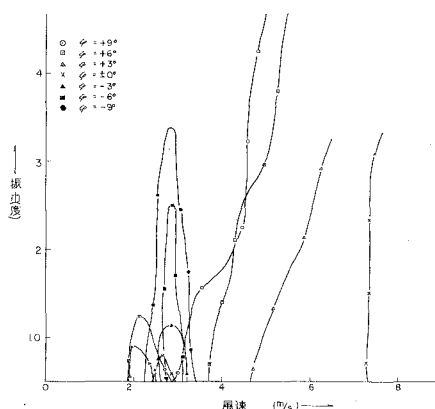


図-4 模型-1 V-A 曲線(I)

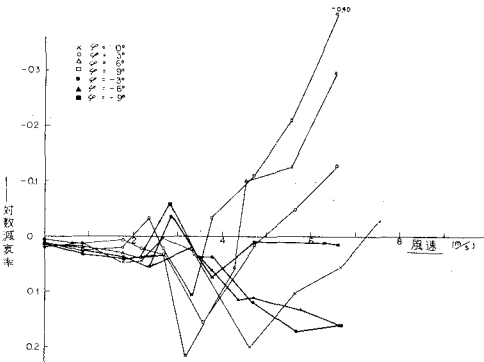


図-3-1 模型-1 V-δ 曲線

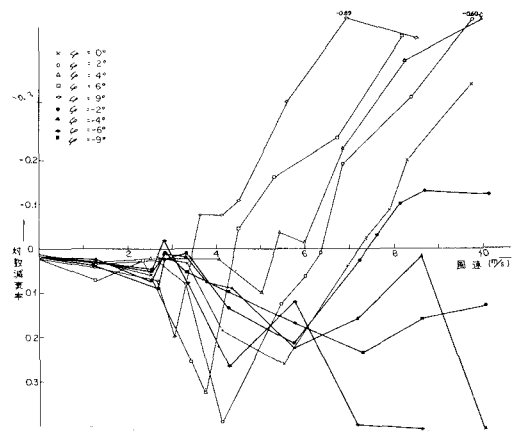


図-3-2 模型-2 V-δ 曲線

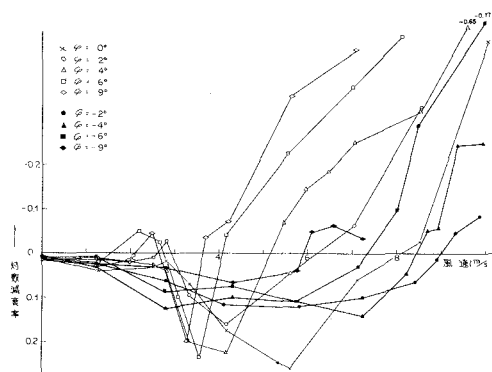


図-3-3 模型-5 V-δ 曲線

また模型-4も多小空力特性の改善をめざす。

模型-3、模型-4につづいてはカスケード翼による側面力を示してある。

II 初期減衰の影響トーレー

以上の実験では構造減衰につづいて相似則を満足しないが、たゞ電磁減衰器、変速式まで追加を行なう初期減衰。大きさにより発振風速及び振巾の程度、影響をうけよの調べた。その結果を図-5-1、5-2に示す。これらは模型-1の似支持、迎角 0° での回転振動トーレーの実験結果で風速と振巾と模型、減衰の関係を示している。図-5-1は附加減衰を零とした場合、図-5-2は $\delta=0.03$ 程度。減衰を加えた場合の結果である。この実験結果から附加減衰を加えると大体どの量だけ等減衰線が移動し空力減衰と初期減衰の重ね合せが可能であることが確認できた。この結果が正しいとすれば初期減衰 $\delta=0.02$ に対する模型-1の振巾風速曲線(図-4)は初期減衰を $\delta=0.05$ とすれば風速-振巾-減衰曲線上に等減衰線。移動により図-6のようになることが予想される。

4 考察

以上の実験結果から次のことが推察できる。

I. 各模型のうちで模型-2が、次いで模型-4。空力的に優れた断面と云ふ。

II. 模型-1の空力特性をかなり良好である。

危険な振動、駆動をどうするか問題のあるところであるが例えば片振巾 $\pm 3^\circ$ 振動までを許容するとすれば原設計は十分安全と云えよう。更に実験、構造減衰を $\delta=0.05$ とすればますます安全と云えよう。

5 結び

以上の実験で原設計の耐風性につづいての安全性が確認された。なお、実験結果とその考察については当日詳しく述べる。

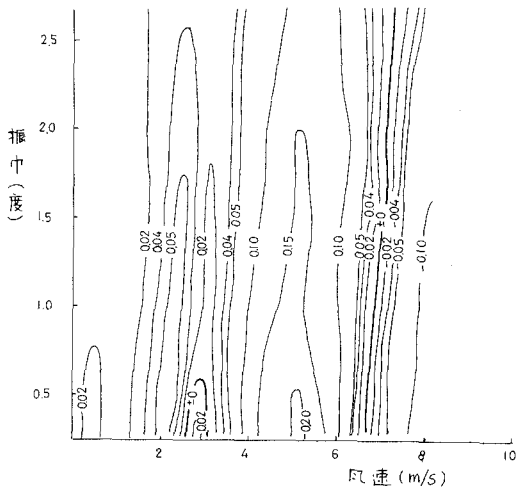


図-5-1 模型-1 V-A-δ曲線(I)

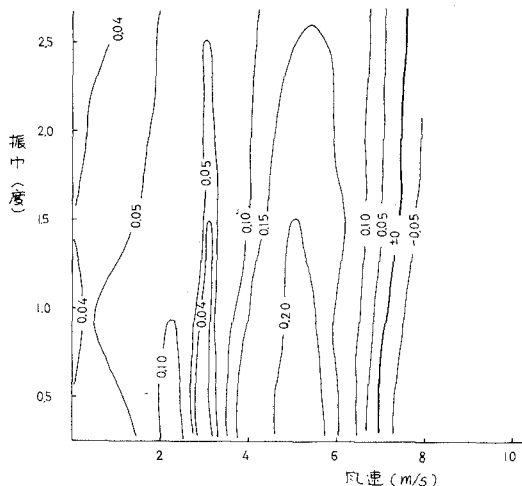


図-5-2 模型-1 V-A-δ曲線(II)

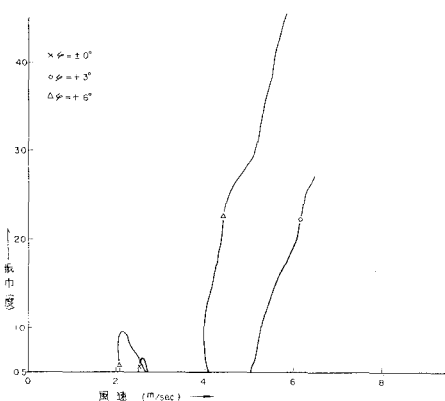


図-6 模型-1 V-A曲線(II)